

스루스 게이트의 流量公式

Flow Equation for the Sluice Gate

李 重 基
Joong Key Lee

要點

물이 水門(Gate)을 通하여 흐를 때 其 狀態를 安全 흐름 (Free Flow)과 不安全흐름 (Submerged Flow)으로 区分되는데 이는 모두 流體의 性質과 自然條件에 의해 一定斷面보다 작은 流體通水 斷面으로 축소되어 지나 우회눈에 보이지 않는 많은 형태의 變化를 가지고 있기 때문에 流出口에서 축소된 단면이 일어난다. 이를 수축계수(Coeff of Contraction)이라 부르며 이 수축계수를 計算하기란 극히 힘들기 때문에 河床 마찰력 斷面의 流速分布 壓力分布의 현상을 利用하여 公式을 유도했으며 이 理論式에다 諸水理學者의 實驗에서 얻어진 보정계수를 加하여 수정하였고 특히 下流部의 水深을 計算할 때 跳水前 斷面과 跳水後 斷面間に 運動量 方程式을 使用하여 計算했으며 이 수축계수를 使用하여 수문을 通해 흐르는 流量을 計算하고 또 水理 試驗에서 實測한 流量과의 誤差 범위를 求해본 결과 最大誤差가 6.8%로서 省略할 만큼 적기 때문에 流量計算을 為한 公式으로 使用할 價値가 충분한고로 여기에 소개한 것이고 設計 및 水理計算時 本公式를 利用해 주길 바란다.

緒論

一定한 나비를 가진 長方形水路에 設置된 스루스 게이트(Sluice Gate)를 通하여 흐르는 물은 安全흐름 (Free Flow 第1圖 "a" 참조 以下 편의상 安全흐름 이라 부른다)과 不安全 흐름 (Submerged Flow 潛口흐름 第1圖 "b" 참조 以下 편의상 不安全 흐름 이라 부른다)으로 나눈다.

1. 安全흐름(Free Flow)

第1圖 "a"에 表示된 것과 같으며 圖上에서 a는 Gate가 열린 높이이고 H_1 은 上流 水深으로 流速 U_1 을

※ 筵者: 土聯 設計部 勤務

지난 水深을 表示하며 H_0 는 總水深으로 H_1 에다 U_1 에 의해 생기는 速度水頭 손실을 合한 것이다.

$$H_0 = H_1 + \frac{U_1^2}{2g} \quad \dots \dots \dots \quad (1)$$

물이 Gate (水門) 밑 모서리는 날카로운 첨단으로 만들어 마찰이 없는 것으로 取扱 (取扱)으로 흐를 때 自由水面이 最小斷面으로 축소되는 축소부분 (Contracta)은 大略 水門으로 부터 下流로 a의 거리만치 떠 러져 일어난다고 본다 만일 수축된 흐름의 깊이를 Y_{of} 라면

$$Y_{of} = Cc \cdot a \quad \dots \dots \dots \quad (2)$$

여기서 Cc : 수축계수 (Coeff of Contraction)

Henderson씨는 수축계수의 추정과 安全흐름의 形態를 研究하고 저 많은 實驗分析을 하여 其結果치를 正確히 計算하였고 Pager와 Behjaman 씨는 流體의 粘性의 영양을 省略할 때 Cc 는 다만 a/H_0 의 합수임을 表示했고 이로서 第一表를 만들었다. 이 表에 表示된 것과 같이 Cc 의 變化가 非常적이다 그래서 Henderson씨는 Cc 의 値을 特別한 경우를 除外하고는 0.61을 取했다.

그러나 Woycickl, Benjamin, Shahmugam씨의 實驗에서 관찰한 Cc 의 值이 0.61보다 약간 높다.

스루스 게이트의 取扱은 平平한 벽 (短管 Orifice)에서 나오는 流體의 分사로 取扱한다. 그러면 流量公式은

$$q = C_{df} \cdot a \sqrt{2g} H_1 \quad \dots \dots \dots \quad (3)$$

여기서 q : 流量 (單位幅當)

C_{df} : 流量 係數

Fig 1 "a"에서 斷面①과 ②間に 손실이 없다고 假定하고 이를 Bernoulli 公式에 의해 表示하면

$$H_1 + \frac{U_1^2}{2g} = Y_{of} + \frac{U_{of}^2}{2g} \quad \dots \dots \dots \quad (4)$$

또 連續 方程式에서

$$q = H_1 U_1 = Y_{of} U_{of} \quad \dots \dots \dots \quad 5)$$

(4)式과 (5)式을 (3)式에 대입하고 간단히 정리하면

$$q = \frac{Cc}{\sqrt{1+(a/H_1)Cc}}, a\sqrt{2gH_1} \quad \dots\dots\dots(6)$$

C_{df} 를 다음 (7)式과 같이 표시하면 (6)式은 (3)式과 같이 된다.

$$C_{df} = \frac{Cc}{\sqrt{1+(a/H_1)Cc}} \quad \dots\dots\dots(7)$$

만일 Cc 과 a/H_1 의 관계에서 接近流速의 영향을 無視하면 (7)式에서 C_{df} 는 a/H_1 의 變數만을 갖는다 그 러므로 Rouse 씨는 이 관계를 圖示한 것이 第2圖이다.

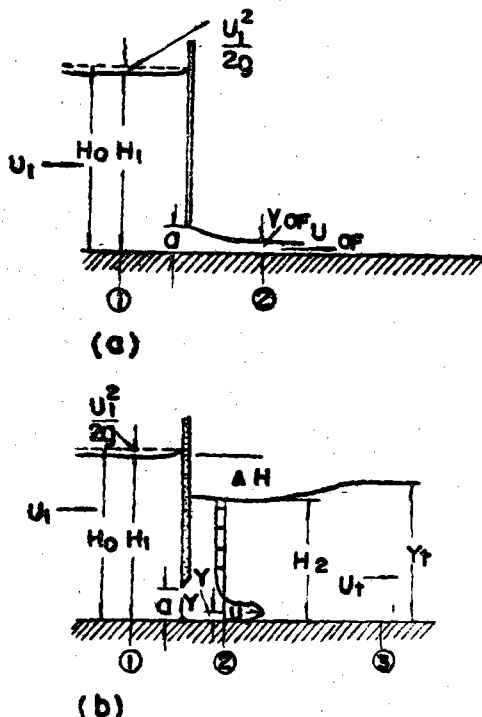


FIG. 1. 스루스 케이드로 푸르 흐르는 안전 흐름과 불안전 흐름의 형태

流出係數 C_{df} 를 Gibson, Addison Henry 그리고 Shanmugam씨가 실험하여 求한것을 Binie와 Gibson. Addison씨가 실험수정한 결과 a/H_1 의 값을 0.7로 가정한 결과 $Cc=0.611$ 의 값과一致되었다.

C_{df} 의 값이 H_1/a 의 값을 11.0 까지 가정 할 때 약간 높은 감이 있지만 別差가 없기 때문에 이 C_{df} 의 값을 0.61로 하고 이를 상수화 시켰다.

C_{df} 對 H_1/a 에 對한 Henry 이 實驗치를 1.5~16까지 배열시켰고 Shanmugam씨는 1.5~7까지 배열시킨 시험 결과표에서 보면 兩氏의 实驗치인 C_{df} 의 값이 잘一致했으며 약간의 差가 있으나 극소하므로 無視하고 C_{df} 의 값을 고정시켰다.

第1表 a/H_1 에 對한 Cc 값

실험 관측자	a/H_1 의 값					
	0	0.1	0.2	0.3	0.4	0.5
RAYLEIGH	0.611	—	—	—	—	—
VAISEY SO UTHWELLA ND PAGER	—	—	—	—	—	0.608
BENJAMIN	0.611	—	0.6046	0.6036	0.6043	0.6066

2. 不安全 흐름 (Sudmergeb Flow)

이는 Fig. 1 "b"에 表示된 것과 같으며 여기서 yt 는 下流水深 (自由水面이 安定했을 때 即 Jump(跳水)가 일어난 다음)이고 H_2 는 流出口 直下의 水深 (Jump가 일어나기 直前의 水深)으로 流量 q 는 yt , a/H_1 에 의해 調節된다.

$$b = Cc a \sqrt{2g(H_0 - H_2)} \quad \dots\dots\dots(8)$$

Cc 安全 흐름의 수축계수와 같으며 수축계수의 实驗식은 다음과 같다.

$$Cc = 0.617 + \frac{0.04a}{H_0} \quad \dots\dots\dots(9)$$

Woycicki 씨는 단면 2와 단면 3사이에 運動量 方程式을 유도했는데 단면 2의 運動量은 다음과 같다.

$$M_2 = \frac{qrw}{g}, \frac{q}{aCc} = \frac{qrw}{gaCc} \quad \dots\dots\dots(10)$$

r_w : 물의 單位重量

10式은 兩斷面에서 水壓分布量 水理學的으로 假定하고 河床마찰력을 省略한 式이다. 또 Henry의 不安全 흐름 流量公式은

$$q = C_{ds} \cdot a \cdot \sqrt{2gH_1} \quad \dots\dots\dots(11)$$

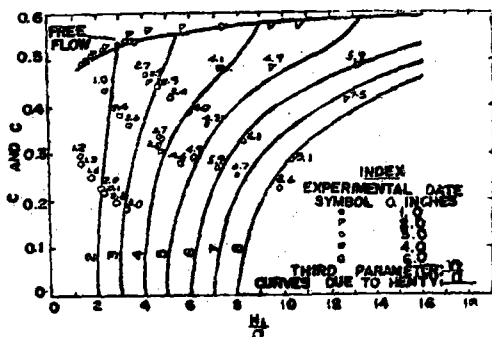


FIG. 2. HENRY 씨의 시험 결과 도표

C_{ds} 不安全 흐름의 流量 계수

Henry 는 C_{ds} 를 H_1/a 와 yt/a 의 합수로 取扱하고 C_{ds} 를 이 합수에 의해 實驗하여 Fig. 2에 表示했으며 이表에서 C_{ds} 를 求하여 流量를 計算할 수 있게 하였다.

또 Shmide 씨는 不安全 흐름의 流量公式을 다음과

같이 表示했다.

$$q = \psi_1 C_{df} a \sqrt{2gH_1} \quad \dots\dots\dots\dots(12)$$

$$\text{여기서 } \psi_1 = \sqrt{(H_1 - H_s)/H_1}$$

Schmidt와 Woycicki씨는 H_1/a 를 求하기 위해 yt/a : ψ_1 의 관계를 간단히 정리 했으며 C_{df} 의 평균치를 使用하여 求한 流量公式이 (12)式과 一致된다. 即

$$q = C_{ds} a \sqrt{2g(H_1 - yt)} \quad \dots\dots\dots\dots(13)$$

여기서 C_{ds} 는 實驗에 의해 決定된 流量係數로서 (12)式과 같이 表示하면

$$q = \psi_2 C_{df} a \sqrt{2gH_1} \quad \dots\dots\dots\dots(14)$$

여기서 ψ_2 는 不安全 흐름의 係數로 單獨함수인 関數이며 이값은 Graph 상에서도 單一 曲線으로 表示된다. 만일 水門으로 흐르는 流量가 一定하다면 水門

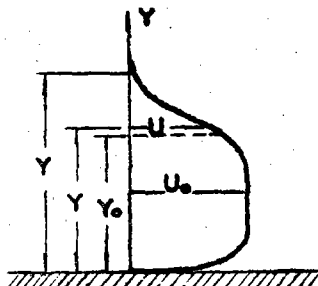


FIG. 3. 不安全 흐름의 수축부분의 유속분포도

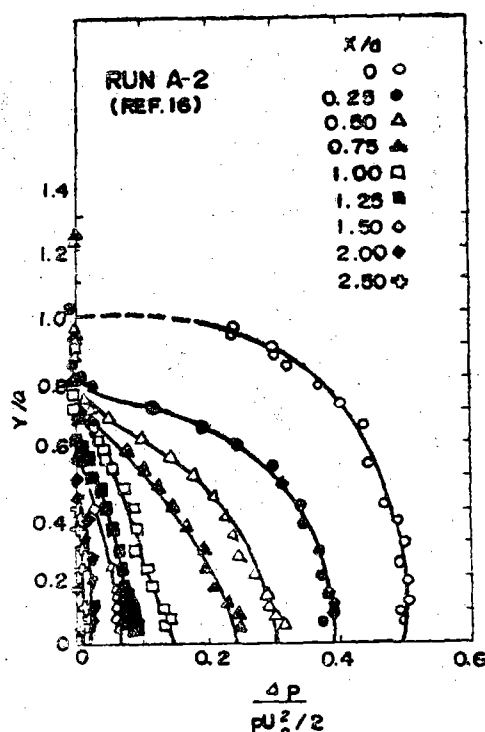


FIG. 4. 不安全 흐름의 壓力 분포도

으로 부터 1.15a의 거리에서 最小水深인 y_0 가 나타나는대 이 水深이 0.61a이다 (安全흐름의 경우도 同一하다) 그려므로 最小斷面 (수축부분)의 流速은

$$U_0 = \sqrt{2g \Delta H} \quad \dots\dots\dots\dots(15)$$

$$\Delta H = H_1 - H_s \quad (\text{河床부터 自由水面까지의 水深差})$$

Fig. 3은 流速分布를 表示한 것인데 水門과 수축부분 사이에 壓力分布는一般的으로 假定된 水理學의 distribution와 현저한 差異가 있다 만일 ΔP 가 脊位差에서 발생한 壓力의 差라고 보면 y/a 에 對한 $\Delta P = eU_0^2/2$ 의 變化는 Fig.-과 같다.

以上에서 얻은 結果를 기초로 하여 流量을 計算하는 一般公式 (不安全 흐름에서와 同样 安全흐름에서도 적용됨)은 스루스 케이트 下流의 流量을 計算하기 위해 유도되었다. 이 유도된 公식이 다음과 같다.

一般的의 流量公式

Fig. 1 “b”에서 斷面 ①과 ②사이에서 Energy 손실이 없다고 가정하고 水理學의 壓力 分布에 의해 運動量 formula으로 表示하면

$$H_1 + \frac{U_1^2}{2g} = H_2 + \frac{\int_{y_0}^{H_2} euby U^2 \frac{dy}{2}}{\int_{y_0}^{H_2} rwu \cdot U \cdot dy} \quad \dots\dots\dots\dots(16)$$

Rajaratnam씨는 不安全 흐름에서 下流의 跳水와 運動 Energy를 省略하면

$$H_1 + \frac{U_1^2}{2g} = H_2 + \frac{1}{2g} \int_{y_0}^{yf} U^2 dy \quad \dots\dots\dots\dots(17)$$

yf : 孔口 밑바닥에서 天井까지 거리 (Gate가 열린 높이)

(17)式 右項의 運動 Energy 項은

$$\frac{1}{2g} \cdot \frac{\int_{y_0}^{yf} U^2 dy}{\int_{y_0}^{yf} U dy} = \alpha s \frac{q^2}{y_0^2 2g} \quad \dots\dots\dots\dots(18)$$

αs : 運動 Energy 정정 계수

y_0 : 수축 부분의 수심 0.61a

위 (17)式과 (18)式을 정리하면

$$q = \frac{1}{\sqrt{\alpha s - (y_0/H_1)^2}} \cdot y_0 \sqrt{2g \Delta H} \quad \dots\dots\dots\dots(19)$$

$$q = \frac{C_c}{\sqrt{\alpha s - C_c^2 (a/H_1)^2}} \cdot a \sqrt{2g \Delta H} \quad \dots\dots\dots\dots(20)$$

20式을 간단히 하면

$$q = C_d a \sqrt{2g \Delta H} \quad \dots\dots\dots\dots(21)$$

여기서

$$C_d = \frac{C_c}{\sqrt{\alpha s - C_c^2 (2a \Delta H)}} \quad \dots\dots\dots\dots(22)$$

αs 는 Rajaratnam과 Subramanya씨의 實驗에서 1.0

8. 1.11 1.04 平均치 1.08을 求하였고 上記方法과

A-17	.	.	2.60	21.35	4.62	-	0.600	0.341	-	0.534
18	.	.	2.89	21.92	4.62	-	0.605	0.283	-	0.541
19	.	.	2.97	28.44	4.62	-	0.595	0.268	-	0.541
B-1	16.26	S	2.73	19.81	16.0	17.98	0.682	0.770	1.18	0.299
2	.	.	2.73	36.92	22.6	24.87	0.610	0.566	1.63	0.254
3	.	.	2.73	23.52	28.7	30.73	0.605	0.454	2.02	0.229
4	.	.	2.73	43.43	38.6	39.37	0.605	0.350	2.62	0.201
5	.	.	2.72	35.30	30.48	32.25	0.604	0.430	2.11	0.222
6	.	.	2.69	49.78	44.95	45.10	0.596	0.330	2.98	0.185
7	.	.	2.73	22.09	18.16	20.19	0.670	0.690	1.33	0.282
C-1	10.16	S	2.93	30.98	18.28	23.92	0.600	0.328	2.36	0.384
2	.	.	2.93	24.38	12.19	18.89	0.613	0.412	1.86	0.435
3	.	.	2.93	34.79	22.09	26.77	0.601	0.292	2.63	0.362
4	.	.	2.90	48.51	35.81	38.73	0.596	0.209	3.81	0.304
5	.	.	2.90	57.40	44.45	46.73	0.590	0.170	4.59	0.279
6	.	F	2.93	17.78	6.07	-	0.640	0.571	-	0.507
7	.	.	2.97	18.28	6.35	-	0.630	0.555	-	0.510
8	.	.	2.75	14.47	6.35	-	0.660	0.702	-	0.494
9	.	.	2.76	16.25	6.35	-	0.640	0.625	-	0.502
D-1	5.08	.	2.30	65.02	33.78	38.04	0.598	0.078	7.49	0.413
2	.	.	2.28	79.5	46.78	52.42	0.594	0.064	10.32	0.370
3	.	.	2.33	49.02	17.01	24.84	0.600	0.1035	4.89	0.485
4	.	.	2.01	37.33	12.7	20.87	0.592	0.1360	4.11	0.478
5	.	.	1.48	17.78	5.33	12.31	0.612	0.2860	2.48	0.511
6	.	.	1.47	22.09	7.36	14.52	0.610	0.2300	2.86	0.454
7	.	F	1.83	22.09	3.14	-	0.610	0.2300	-	0.565
8	.	.	2.13	29.46	3.14	-	0.605	0.1720	-	0.570
9	.	.	2.45	38.35	3.22	-	0.600	0.132	-	0.592
10	.	.	2.73	48.76	3.14	-	0.590	0.104	-	0.570
11	.	.	2.92	54.86	3.17	-	0.594	0.092	-	0.574
12	.	.	1.61	17.78	3.14	-	0.617	0.290	-	0.558
13	.	.	1.12	9.9	3.04	-	0.624	0.512	-	0.519
14	.	.	1.30	12.7	3.04	-	0.612	0.400	-	0.631
E-1	2.54	S	0.97	33.52	10.97	15.11	-0.593	0.0756	5.95	0.486
2	.	.	0.97	45.97	23.36	27.68	0.593	0.0552	10.09	0.426
3	.	.	1.06	52.57	25.90	27.73	0.595	0.0483	10.92	0.423
4	.	.	1.06	75.18	49.27	50.03	0.607	0.0338	19.70	0.354
5	.	.	1.81	106.90	30.98	96.27	0.605	0.0238	14.28	0.510
6	.	F	1.42	47.75	1.57	-	0.606	0.0530	-	0.577
7	.	.	1.66	65.53	1.57	-	0.606	0.0390	-	0.597
8	.	.	2.05	100.58	1.57	-	0.590	0.0252	-	0.595

不安全 흐름의 運動量公式

Fig 5에서 C_d 를 求해 (28)式에 代入하여 流量 (q)를 計算하는데 우선 H_1 을 求해야 한다 그러나 大部分의 경우 y_t 는 쉽게 求할수 있어도 H_1 을 求하기란 困하 힘든다 그러기 때문에 H_1 을 求하는 方法으로 運動量 方

程式은 斷面 ②과 ③에서 求할수 있는데 斷②의 流速 $U_0 = \sqrt{2g(H_1 - H_2)}$ 과 수심 y_0 에 의해 결정된 수축부의 수심 y_0^* 는 다음과식으로 求한다.

$$y_0^* = q/u_0 \quad \dots \dots \dots (30)$$

$$y_0^* = C_d a \quad \dots \dots \dots (31)$$

断面②의 운동량은

$$M_s = \int_0^{y_f} \rho u^2 dy \dots (32)$$

逆流의 운동량을 省略하면

$$M_s = \rho g u_0 \beta_s \dots (33)$$

β_s 는 운동량 계수로서 다음식으로 求한다.

$$\beta_s = \left(\int_0^{y_f} U_s^2 dy \right) \frac{1}{q u_0} \dots (34)$$

断面②의 总压力은

$$P_s = \rho w \frac{H_s^2}{2} + \rho k \theta e \frac{U_s^2}{2} \dots (35)$$

(35)式 第 2항은 水理學의 조건에서 이미 주어진 誤差이고 $\rho k \theta e$ 는 水理學의 分析으로부터 誤差가 생긴 水深을 표시 하며 θ 는 實驗 계수이다.

断面③에서 운동량과 总压力은 断面②에서와 같이

$$Mt = \rho g U_s \ell_s \dots (36)$$

$$Pt = \rho w \frac{y_t^2}{2} \dots (37)$$

$\beta_s = 0$ 로 假定하고 F_s 를 断面②와 ③사이의 河床 摩擦力이라면 運動量 方程式은

$$P_s - Pt - F_s = Mt - M_s \dots (38)$$

壓力의 구배가 없는 깊은水中 노즐(NNozzel)孔口 (Fig6과 같음)과 같은 不安全호름의 형태를 가진 水門으로부터 生기는 摩擦力 F_s 는

$$F_s = \epsilon e U_s^2 Y_s \dots (39)$$

ϵ 는 $Re = U_s y_s / LU$ $\lambda_{sj} = L_{sj} / y_s$ 의 합수이며 L_s 는 不安全 호름의 Jump(跳水)깊이이다.

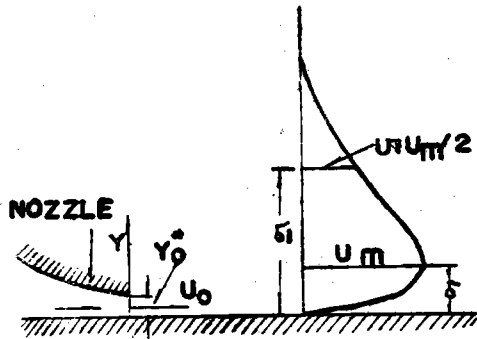


FIG. 6. 分사 험마의 因의

(39)式을 (38)式에 代入하여 정리하면

$$\rho w \frac{H_s^2}{2} + \rho k \theta e \frac{U_s^2}{2} - \rho w \frac{y_t^2}{2} - \epsilon e u_0 y_s \dots (40)$$

$$\rho w (y_t^2 - H_s^2) / 2 = \beta' e U_s^2 Y_s - \epsilon u_0 y_t \dots (41)$$

$$\beta' = (\beta_s + \frac{k \theta}{2 Cd} - \epsilon) \dots (42)$$

(41)式을 간단히 하면

$$4Y_s^2(H_s - H) = \frac{Y_s^2 Y_t^2 (y_t^2 - H_s^2)}{\beta' Y_t - Y_s} \dots (43)$$

萬一 $H_s/y_s = \phi$ }
 $Y_t/y_s = A$ } 를 표시 하면 (44)

$$\phi^2 - \frac{4(\beta' A - 1)}{A} \phi + \left[\frac{4(\beta' A - 1)}{A} B - A^2 \right] = 0 \dots (45)$$

(45)式을 根의公式에 代入하여 ϕ 를 求할 수 있다.

$$\phi = \frac{2(\beta' A - 1)}{A} + \left\{ \frac{4(\beta' A - 1)^2}{A} + A^2 - \frac{4(\beta' A - 1)B}{A} \right\} \frac{1}{2} \dots (46)$$

46)式에서 A, B 는 知수 있고 β' 를 假定하면 (44)式에서 H_s 를 求할 수 있다.

Rajaratnam과 Subramanya씨는 實驗에서 $\beta' = \beta_s$ 를

1.08, 1.16, 1.16 (平均치 1.09)를 求했다.
 $K = 0.8 \theta = 0.06$ 과 Cd 의 平均치인 1.08을 使用하면
 $k \theta / 2 Cd = 0.04$ 이고 $Re = 10^5$ 을 取하고 λ_{sj} 의 값은
16~160까지 變化시켜서 $\epsilon = 0.03 \sim 0.09$ 의 값은 求하였다. 萬一 $\beta_s = 1.09$ 를 取하면 $\beta_s + k \theta / 2 Cd = 1.13$ 이고
 $\epsilon = 0.08$ 의 값을 取하면

$\beta_s + k \theta / 2 Cd - \epsilon = 1.05$ 이다. 그리고 $\beta' = 1.0$ 을 取하면 46式은

$$\phi = \frac{2(A-1)}{A} + \left\{ \frac{4(A-1)^2}{A^2} + A^2 - \frac{4(A-1)B}{2} \right\} \frac{1}{2} \dots (47)$$

(47)式을 使用하여 $Cd \cdot a / H_s$ 의 實驗과 선파 流量 q 는 知고 있는 값 H_s, a, Y_t 에 의해 計算할 수 있다.

計算한 流量 q 와 實測된 流量 q_c 과의 誤差 % (百分率)은 第 3 表와 같으며 이에서 보는 바와 같이 最大誤差가 6.8% 이므로 여기에 유도된 公式(流量)은 정확한 式이다 安全호름에서도 不安全 호름에서와 같이 FIG4와 公式 (47)을 使用하면 정확한 값을 얻는다.

第 3 表 計算公式의 誤差界限

實驗番號	流量 q (實測된 流量)	流量 q_c 計算된 유량	$\frac{q_c - q}{q} \times 100$ (誤差率) %
A-1	m ³ /sec	m ³ /sec	
A-2	2.08	2.09	0.65
A-3	2.08	2.22	6.80
A-4	2.06	2.17	4.63
A-5	2.04	2.06	0.97
A-6	2.08	2.16	4.08
A-7	2.68	2.75	2.32
A-8	2.65	2.76	5.32
A-9	2.67	—	—
A-10	2.70	2.77	2.72
A-11	2.70	2.83	4.72
A-12	2.71	2.72	0.42
A-13	2.71	2.78	2.60

A-14	2.71	2.75	1.56
B-1	2.73	2.75	1.04
B-2	2.73	2.83	4.66
B-3	2.73	2.83	3.53
B-4	2.73	2.88	5.70
B-5	2.72	2.88	6.00
B-6	2.68	2.74	2.10
B-7	2.73	2.74	1.80
C-1	29.2	1.88	-1.35
C-2	2.92	2.80	-3.19
C-3	2.92	2.95	0.96
C-4	2.90	3.02	3.36
C-5	2.90	2.99	2.42
D-1	2.29	2.32	1.11
D-2	2.27	2.30	1.24
D-3	2.32	2.39	2.68
D-4	2.00	2.04	1.70
D-5	1.48	1.43	-3.25
D-6	1.16	1.42	-3.09
E-1	0.96	0.98	2.34
E-2	0.96	0.97	1.47
E-3	1.05	1.07	1.87
E-4	1.05	1.08	2.94
E-5	1.81	1.83	1.56

河床 摩擦力

Fig. 1 "b"에서 L_{sj} 는 斷面 ②가 ③사이의 거리이다
그러므로

(1) L_{sj} 는 roa와 Rajaratnam씨의 不安全호를 Jump
公式에서 計算할수 있다.

$$\frac{L_{sj}}{y_0} = 4.9s - 6.1 \quad (48)$$

$$Y_s = \frac{1}{2} Y_0^* \left(\sqrt{1 + 8 \frac{u_0^2}{g} y_0^*} - 1 \right) \quad (49)$$

$$S = \frac{(Y_t - Y_0)}{Y_0} \quad (50)$$

(49)式은

$$\frac{y_s}{y_0^*} = \frac{1}{2} \left(\sqrt{16B - 15} - 1 \right) \quad (51)$$

여기서 $B = H_1/y_0^*$ 이다.

2. 不安全호를은 壓力구배가 없는 벽면에서 Jet式으로 흐르는 것과 같은경우로 取扱한다 (벽면에 潛孔 Orifice과 같은 경우) 이 Orifice가 극히 작을 경우는 上記한 여려公式이 약간의 誤差가 있지만 여기서는 모든 조건을 충분히 채웠을 경우로 봐서 計算한다.

Fig. 6은 數種으로 나누어 實驗한 분사 (Walljet)
에서 서로 비슷한 流速을 모아 分布시킨 曲線이다.
여기서 Um : Nozzle부터 力거리 上임위 지점의
最大流速.

τ_1 : 縱軸의 축척.

δ : 마찰력 때문에 流速이 0인 수막층.

萬一 τ_1 가 計算하는 點의 마찰력이라면 Sigalla씨
의 公式을 使用하여

$$\tau_0 = C_f C \frac{Um^2}{2} \quad (52)$$

$$C_f = \frac{0.0565}{\left(\frac{Um\delta}{N} \right)^{1/4}} \quad (53)$$

$$\delta = 0.16\delta_1$$

δ와 Um/U , δ_1/y_0^* 와의 變數를 使用하여 求하면

$$\tau_0 = C_1 f(\lambda) e^{U_0^2} \quad (54)$$

$$\text{여기서 } C_1 = \frac{0.336}{Re^{1/4}} \quad (55)$$

$$f(\lambda) = \frac{1}{\lambda (0.276\lambda^{-1/2} + 0.036\lambda^{1/2})} \quad (56)$$

$$\lambda = x/y_0^*$$

斷面 ②와 ③사이의 總마찰력 Fs 는

$$Fs = \int_0^{L_{sj}} C_1 f(\lambda) e u_0^2 dx \quad (57)$$

$$Fs = C_1 e u_0^2 y_0^* \int_0^{L_{sj}} f(\lambda) d\lambda \quad (58)$$

$$C_1 \int_0^{L_{sj}} f(\lambda) d\lambda = \frac{Fs}{e u_0^2 Y_0^*} \quad (59)$$

$$\varepsilon = Fs / e u_0^2 y_0^* = C_1 \int_0^{L_{sj}} f(\lambda) d\lambda \quad (59)$$

59式에서 $Re = 10^8$ 를 使用하여 計算한 것이 Fig 7이
다. ε 는 $x/y_0^* = 16$ 일 때 0.03이고 $x/y_0^* = 160$ 일 때
 $\varepsilon = 0.09$ 이다.

이로봐서 u/y_0^* 가 10倍로 증가 했으나 ε 는 3倍 밖에
증가치 않는다 그러므로 ε 는 거의 상수로 봐도 差異가 없다.

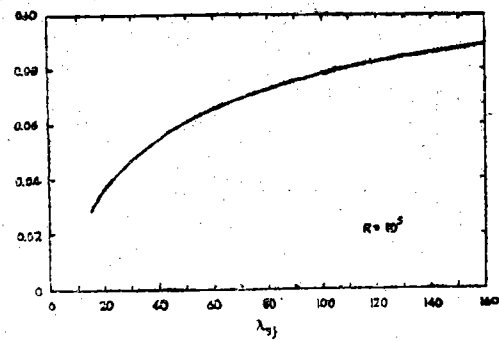


Fig. 7. λ_1 和 ε 的 曲線

計算要領

스루스 케이트의 계산순서는 다음방법에 의한다.

(1) 흐름의 상태를 安全흐름인가 不安全흐름인가를 구분할것.

安全흐름에서 斷面②의 流速 $U_0 = \sqrt{2g}H_1 - 0.61a$ 를 가진 수심 y_0^* 을 결정할것 (29)式에서 $y_0^* = Cd a$ 를 구하고 y_0^* 와 U_0 를 使用하여 跳水高(Hydraulic Jump) y_s 는 49式에서 계산할수 있다. 그리고

$$\frac{y_s}{y_0^*} = \frac{1}{2} \left[\left\{ 1 - 16(H_1 - 0.61a) \cdot \frac{1}{y_0^*} \right\}^{1/2} - 1 \right] \quad (60)$$

(51)式에서

$$\frac{y_s}{y_0^*} = \frac{1}{2} \left\{ \left(16 \frac{H_1}{y_0^*} - 15 \right)^{1/2} - 1 \right\} \quad (61)$$

(61)式으로 그린 圖表가 Fig 8 이다.

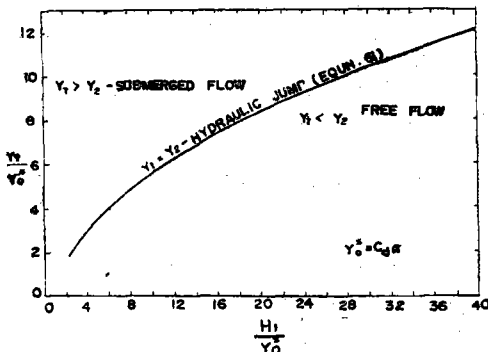


FIG. 8 흐름 형태의 구분

安全흐름에서

(2) $H_1 a$ 를 알고 28式에 의해 流量 q 를 계산한다.

(3) q 와 $H_1 a$ 를 알고 u 를 계산한다. 式28을 정리하면

$$q = Cd a \sqrt{2g} (H_1 - 0.61a) \quad (62)$$

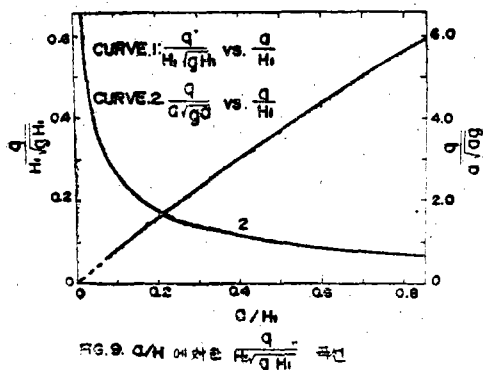


FIG. 9 q/H_1 에 따른 $\frac{q}{H_1} \cdot \frac{g}{g H_1}$ 곡선

$$\frac{q}{H_1 \sqrt{g H_1}} = Cd(a/H_1) \sqrt{2(1 - 0.61a/H_1)} \quad (63)$$

$$\frac{q}{H_1 \sqrt{g H_1}} = f(a/H_1) \quad (64)$$

$f(a/H_1)$ 은 변수 a/H_1 에 따라 변하며 이를 圖表한 것이 Fig 9 이다.

(4) a 와 q 를 알고 H_1 을 계산한다.

(62) 式을 정리하면

$$\frac{q}{a \sqrt{ga}} = Cd \sqrt{2(H_1/a - 0.61)} \quad (65)$$

$$\frac{q}{a \sqrt{ga}} = f_2(a/H_1) \quad (66)$$

a/H_1 에 對한 鑄數 $f_2(q/H_1)$ 을 圖示한 것이 Fig 9 이다.

不安全 흐름에서

(5) $a_1 H_1 Y_t$ 를 알고 q 를 계산한다. 式(48)式을 利用하여 前記(2)의 方法에 의한다.

(6) H_1 y_t q 를 알고 a 를 계산한다.

(7) y_t q a 를 알고 H_1 을 계산한다.

(8) q a , H_1 을 알고 y_t 를 계산한다. (公式45)

参考 文獻

(1) 安守漢氏 水理學 Orifice 編

(2) 永井莊七郎 水理學 6. 9. 15章

(3) RANALD 'V' GILES

FLUID MECHANICS AND HYDRAULICS
CHAPTER 9. CHAPTER 10.

(4) IR J TH THJSSE

DISCHARGE AND UNIFORME FLOW
DELFTE TECHNOLDGICAL UNIVERSITY

(5) ROBIN R. C.

DISCHARGE OF SUDMERGED FOR SLUICE
GATE

(6) ANWAR H. O.

APPLICATION OF THE PRINCIPLE OF EX
TREMUM TO SUBMERGED DISCHARGE

(7) NAIB S. K. A

FLOW PATTERN IN A SUBMERGED LIQU
ID JET DIFFUSING UNDER GRAVITY

記號 說明

$$A = yt/y_*$$

a : 슬루스 게이트가 열린 높이

$$B = H_1/y_*$$

Cc : 수축계수

Cd, Cdf : 安全호름의 流量係數

Cd, Cd, Cd : 不安全호름의 流量係數

Cd : 共同으로 使用되는 流量係數

Cf : 摩擦力 係數

C₁ : 마찰력상수

F_s : 河床 總摩擦係수

f₁, f₂ : 계수

g : 重力加速度

$$H_0 : 上流部의 總水深 (H_1 + \frac{U_1^2}{2g})$$

H₁ : 上流部 水深

H₂ : Gate 직하 Jump 前수심

k : 比例 상수

Lsj : 不安全 호름의 跳水長

Mt : 断面 3의 總運動量

M₂ : 断面 2의 總運動量

Pt : 断面 3의 總壓力

P₂ : 断面 2의 總壓力

q_c : 實測한 流量

q : 計算한 유량

Re : Reynold Number = $u_0 y_* / \nu$

$$S : 不安全 호름 계수 = \frac{(yt - y_*)}{y_*}$$

U₀ : 一定한 水深에서의 最大流速

u, u_f, u_t : 平均 流速

Um : 임위점의 最大流速

x : 橫軸

y : 河床으로부터 임위점의 수심

$$y_f : y_f = a$$

yt : yt = y_{*} (水位가 安定된 곳의 수심)

y_{0,t} : 安全호름의 수축부분 수심

y₀ : 不安全호름의 수축부분의 수심

y_{*} : 수축된 호름의 수심 = q/U

y_z : 下流의 Jump 高 = yt

α_{sf} : 運動 Energy의 정정 계수

β_1 : 운동량 계수

β' : 계수

rw : 물의 單位重量

$$\Delta H = H_1 - H_2$$

ΔP : 壓力差

q : 河床粒子의 粗度로 因해 생기는 마찰력 때문에 유속이 0인 수막의 두께

y₁ : y軸의 축척

ϵ : 마찰력계수

θ : 실험계수

$$\lambda = x/y_*$$

$$\lambda sf = Lsf/y_*$$

ν : 粘性 계수

e : 밀도

τ_0 : 河床의 마찰력

$$\phi = H_2/y_*$$

$$\phi_1 = (H_1 - H_2) H_1$$

ϕ_2 : 변수